

## High Performance Computing – Blatt 9

(Präsenzübung 24. Juni 2013)

### Teil 1: Theorie verstehen (Hausaufgabe!)

Gegeben Sei das Gebiet  $\Omega \subset \mathbb{R}^2$ . Wir betrachten wieder das Poisson-Problem

$$\begin{aligned} -\Delta u &= f && \text{in } \Omega \\ u &= u_D && \text{auf } \Gamma_D \subset \Gamma = \partial\Omega \quad (\text{Dirichlet-Randbedingung}) \\ \frac{\partial u}{\partial n} &= g && \text{auf } \Gamma_N = \Gamma \setminus \Gamma_D \quad (\text{Neumann-Randbedingung}). \end{aligned}$$

Um diese PDE mit der Finiten Elemente Methode zu lösen, haben wir die letzten 2 Wochen schon wichtige Schritte gemacht, nämlich

- die Funktionalität für das unterliegende Gitter implementiert,
- das aus der Galerkin-Projektion resultierende diskrete System

$$\mathbf{A}\mathbf{u} = \mathbf{b}, \quad \mathbf{A} \in \mathbb{R}^{N \times N}, \mathbf{u}, \mathbf{b} \in \mathbb{R}^N,$$

assembliert.

Nun müssen wir das Gleichungssystem nur noch lösen. Dazu wollen wir in dieser Übung sowohl das *cg*- als auch das *Gauß-Seidel*-Verfahren implementieren.

Beide Verfahren sollen aus Numerik I bzw. der Vorlesung noch bekannt sein. Zur Erinnerung sind in Algorithmus 1 und 2 die Algorithmen noch einmal aufgeschrieben.

---

**Algorithm 1** CG-Verfahren:  $x = \mathbf{CG}[A, b]$

---

**Input:**  $x^0$

```
1:  $r^0 = b - Ax^0$ 
2:  $p^0 = r^0$ 
3: for  $k = 0, \dots, \text{maxIts}$  do
4:   if  $(r^k)^\top r^k < \text{tol}$  then
5:     return  $x^k$ 
6:   end if
7:    $z^k = A \cdot p^k$ 
8:    $\alpha^k = \frac{(r^k)^\top r^k}{(p^k)^\top z^k}$ 
9:    $x^{k+1} = x^k + \alpha^k p^k$ 
10:   $r^{k+1} = r^k - \alpha^k z^k$ 
11:   $\beta^k = \frac{(r^k)^\top r^k}{(r^{k+1})^\top r^{k+1}}$ 
12:   $p^{k+1} = r^{k+1} + \beta^k p^k$ 
13: end for
```

---

---

**Algorithm 2** Gauß-Seidel-Verfahren:  $x = \mathbf{GS}[A, b]$ 

---

**Input:**  $x^0 = (x_1^0, \dots, x_N^0)^\top$ 

- 1: **for**  $\ell = 0, \dots, \text{maxIts}$  **do**
  - 2:     **for**  $k = 1, \dots, N$  **do**
  - 3:          $x_k^{\ell+1} = \frac{1}{a_{kk}} \left( b_k - \sum_{i=1}^{k-1} a_{ki} x_i^{\ell+1} - \sum_{i=k+1}^N a_{ki} x_i^\ell \right)$
  - 4:     **end for**
  - 5: **end for**
- 

**CG parallel**

Wie in der Vorlesung besprochen, lässt sich das *cg*-Verfahren mit wenigen Kommunikationsschritten leicht parallelisieren. Wir bezeichnen mit Oberstrichen immer TypI-Größen (global), während die lokalen TypII-Größen mit Unterstrich gekennzeichnet werden.

---

**Algorithm 3** CG-Verfahren:  $x = \mathbf{CG-Parallel}[A, b]$ 

---

**Input:**  $\bar{x}^0$ 

- 1:  $\underline{r}^0 = \underline{b} - A\bar{x}^0$
  - 2:  $\bar{p}^0 = \bar{r}^0 = \sum_{n=1}^{\text{numProcs}} C_n^\top \underline{r}^0$
  - 3: **for**  $k = 0, \dots, \text{maxIts}$  **do**
  - 4:     **if**  $(\bar{r}^k)^\top \underline{r}^k < \text{tol}$  **then**
  - 5:         **return**  $\bar{x}^k$
  - 6:     **end if**
  - 7:      $\underline{z}^k = A \cdot \bar{p}^k$
  - 8:      $\alpha^k = \frac{(\bar{p}^k)^\top \underline{r}^k}{(\bar{p}^k)^\top \underline{z}^k}$
  - 9:      $\bar{x}^{k+1} = \bar{x}^k + \alpha^k \bar{p}^k$
  - 10:      $\underline{r}^{k+1} = \underline{r}^k - \alpha^k \underline{z}^k$
  - 11:      $\bar{r}^{k+1} = \sum_{n=1}^{\text{numProcs}} C_n^\top \underline{r}^k$
  - 12:      $\beta^k = \frac{(\bar{r}^k)^\top \underline{r}^k}{(\bar{r}^{k+1})^\top \underline{r}^{k+1}}$
  - 13:      $\bar{p}^{k+1} = \bar{r}^{k+1} + \beta^k \bar{p}^k$
  - 14: **end for**
- 

**Aufgabe 1**

- Schauen Sie sich noch einmal das CRS-Format von Blatt 8 an. Wie kann auf die Datenstrukturen einer CRS-Matrix  $A = (a_{ij})_{i,j}$  zugegriffen werden, um

$$\text{tmp}_k := \sum_{i=1}^{k-1} a_{ki} x_i^{\ell+1} + \sum_{i=k+1}^N a_{ki} x_i^\ell$$

zu realisieren (siehe Zeile 7 in Algorithmus 2)? Warum möchte man *nicht* über die volle Zeile  $i = 1, \dots, k-1, k+1, \dots, N$  laufen?

- Welche Funktion brauchen wir für die Umwandlung von  $\underline{r}^k$  zu  $\bar{r}^k$  (Zeilen 2 bzw. 11 in Algorithmus 3)?

**Gauß-Seidel parallel**

Das Gauß-Seidel-Verfahren wird oft durch eine sogenannte Red-Black-Nummerierung parallelisiert. Hier wollen wir aber eine Alternative umsetzen, die bei nicht-überlappenden Teilgebieten ausnutzt, dass wir nach einer Umsortierung der Knoten-Indizes die folgende

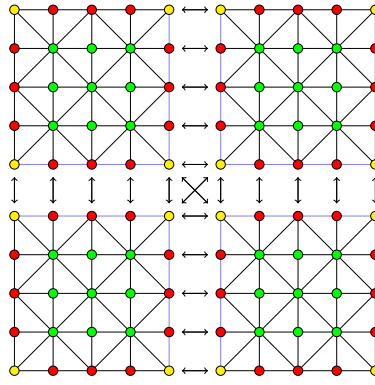


Abbildung 1: Knoten-Aufteilung auf 4 Prozesse

Struktur in der Matrix  $\mathbf{A}$  und damit dem Gleichungssystem haben:

$$\begin{pmatrix} A_{VV} & A_{VE} & A_{VI} \\ A_{EV} & A_{EE} & A_{EI} \\ A_{IV} & A_{IE} & A_{II} \end{pmatrix} \cdot \begin{pmatrix} x_V \\ x_E \\ x_I \end{pmatrix} = \begin{pmatrix} b_V \\ b_E \\ b_I \end{pmatrix},$$

wobei (siehe auch Abbildung 1)

- $V$ : Indexmenge der Kopplungsknoten (gelb),
- $E$ : Indexmenge der Punkte auf Kopplungskanten (rot),
- $I$ : Indexmenge der inneren Knoten (grün).

Wir wissen, dass  $A_{VV} =: D_V$  eine Diagonalmatrix und  $A_{EE}$  eine Blockdiagonalmatrix mit tridiagonalen Blöcken ist. Beide können also mithilfe weniger Vektoren abgespeichert werden.

Zur Notation: mit  $\cdot_{(gl)}$  bezeichnen wir globale (TypI) Matrizen. Damit kann nun der folgende Algorithmus umgesetzt werden:

---

**Algorithm 4** Gauß-Seidel-Verfahren:  $x = \text{GS-Parallel}[A, b]$

---

**Input:**  $\bar{x}^0$

- 1: **for**  $k = 0, \dots, \text{maxIts}$  **do**
  - 2:     // Schritt 1:  $\bar{x}_V^{k+1}$  berechnen
  - 3:      $r_V = b_V - A_{VV}\bar{x}_V^k - A_{VE}\bar{x}_E^k - A_{VI}\bar{x}_I^k$
  - 4:      $\bar{r}_V = \sum_{i=1}^p C_{i,V}^T r_{V,i}$
  - 5:      $\bar{x}_V^{k+1} = \bar{x}_V^k + D_{V,(gl)}^{-1} \bar{r}_V$
  - 6:
  - 7:     // Schritt 2:  $\bar{x}_E^{k+1}$  berechnen unter Verwendung von  $\bar{x}_V^{k+1}$
  - 8:      $r_E = b_E - A_{EV}\bar{x}_V^{k+1} - A_{EE}\bar{x}_E^k - A_{EI}\bar{x}_I^k$
  - 9:      $\bar{r}_E = \sum_{i=1}^p C_{i,E}^T r_{E,i}$
  - 10:      $\bar{x}_E^{k+1} = \bar{x}_E^k + A_{EE,(gl)}^{-1} \bar{r}_E$
  - 11:
  - 12:     // Schritt 3:  $\bar{x}_I^{k+1}$  berechnen unter Verwendung von  $\bar{x}_V^{k+1}$  und  $\bar{x}_E^{k+1}$
  - 13:      $r_I = b_I - A_{IV}\bar{x}_V^{k+1} - A_{IE}\bar{x}_E^{k+1} - A_{II}\bar{x}_I^k$
  - 14:      $\bar{r}_I = \sum_{i=1}^p C_{i,I}^T r_{I,i}$
  - 15:      $\bar{x}_I^{k+1} = \bar{x}_I^k + A_{II}^{-1} \bar{r}_I$
  - 16: **end for**
-

Zur Berechnung von  $A_{EE,(gl)}^{-1}\bar{r}_E$  kann die Funktion `solveTridiag(...)` aus *Solver.hpp* verwendet werden, während wir für  $A_{II}^{-1}\bar{r}_I$  ein lokales serielles Gauß-Seidel-Verfahren verwenden.

## Aufgabe 2

- Was für eine Art von Kommunikation brauchen wir, um  $D_{V,(gl)}$  zu bestimmen? Was muss für  $A_{EE,(gl)}$  kommuniziert werden und wie kann das umgesetzt werden?
- Welche Funktion kann verwendet werden, um  $\bar{r}_V$  (Zeile 4, Algorithmus 4) zu berechnen?
- Welche Funktion kann verwendet werden, um  $\bar{r}_E$  (Zeile 9, Algorithmus 4) zu berechnen?
- Muss  $\bar{r}_I$  (Zeile 14, Algorithmus 4) explizit berechnet werden? Warum (nicht)?

## Teil 2: Gegebenen Code verstehen (Hausaufgabe!)

Im Vergleich zum letzten Mal ist diesmal recht wenig hinzugekommen. Neu sind:

- Die Funktion `FEM::solve(Solver method)`.
- Die Dateien *Solver.hpp* und *Solver.cpp*, in welcher die Lösungs-Verfahren implementiert sind.

## Aufgabe 3

- Schauen Sie sich die neuen Code-Teile (und die beiden Hauptprogramme *main-serial.cpp*, *main-parallel.cpp*, um festzustellen, wo was implementiert werden muss.
- Geben Sie einen Überblick darüber, was die Funktion `FEM::solve()` macht. Erklären Sie insbesondere, was es mit den `fixedNodes` auf sich hat.

## Teil 3: Programmieren (Präsenzaufgabe)

- a) Vervollständigen Sie die seriellen Löser (*cg*- und *Gauß-Seidel*-Verfahren in *Solver.cpp*) und testen Sie Ihre Implementierung mit dem Programm *main-serial.cpp*.
- b) Vervollständigen Sie das parallele *cg*-Verfahren und testen Sie Ihre Implementierung mit dem Programm *main-parallel.cpp*.
- c) Vervollständigen Sie das parallele *Gauß-Seidel*-Verfahren und testen Sie wiederum Ihre Implementierung.